

(18) 流動層方式による脱窒処理の検討

栗田工業 中野雄介
○宮地有正

1.はじめに

流動層方式による脱窒処理法は、従来の浮遊方式や固定床方式とは異り、反応槽で流動化させた活性炭や、砂などの担体に脱窒細菌を付着させて脱窒処理をおこなう方法である。

すなわち、硝化処理水にメタノールなどの有機物を加えて上向流で反応槽に通水すると、流動状態の担体の表面に、脱窒細菌を中心とした生物膜が形成され、数mmの粒子（以下、ペレットと呼ぶ）が得られる。^{1~2)}

このペレットにより、硝化処理水中の NO_3^- が N_2 ガスに分解される。

ペレットは流動状態にあるため、浮遊物や微生物による目詰まりがなく、したがつて比較的小さな担体

を用いることにより、大きな比表面積が得られる。たとえば、形成されたペレットが平均 1.5 mm 径の球形

で、流動時の空隙率が 75 % の場合、流動層の比表面積は約 $1000 \text{ m}^2/\text{m}^3$ 槽に相当する。

このように、流動層方式による脱窒処理は、大きい比表面積が得られるため、菌体の保有量が高く、したがつて、高い層負荷が期待できる。

本報では、とくに流動層における汚泥保有量や処理機能におよぼす要因について、2.3 の検討をおこなつた。

2. 実験方法

実験装置のフローシートを図

- 1 に示す。流動層は内径 200 mm、有効高さ 4300 mm のアクリル製で、内部にはステンレス棒を組みした攪拌羽根を用い、約 30 rpm の速度で回転させた。

流動層の上端には内径 400 mm の汚泥だめがあり、反応槽から押出されたペレットがここに沈殿する。また流動層下端の散水部は、ダブルプレート構造とした。

流動層本体とは別に内径 400 mm の沈殿タンクを設け、流出したペレットをここに沈殿させた。

硝化処理水には、地下水の活性汚泥処理水を使用し、硝酸ナトリウムと、メタノールをそれぞれ規定濃度になるように調整し通水した。硝酸性窒素 (NO_3^-) の濃度は、通常約 30 mg/l とし、メタノールはこの約 3 倍

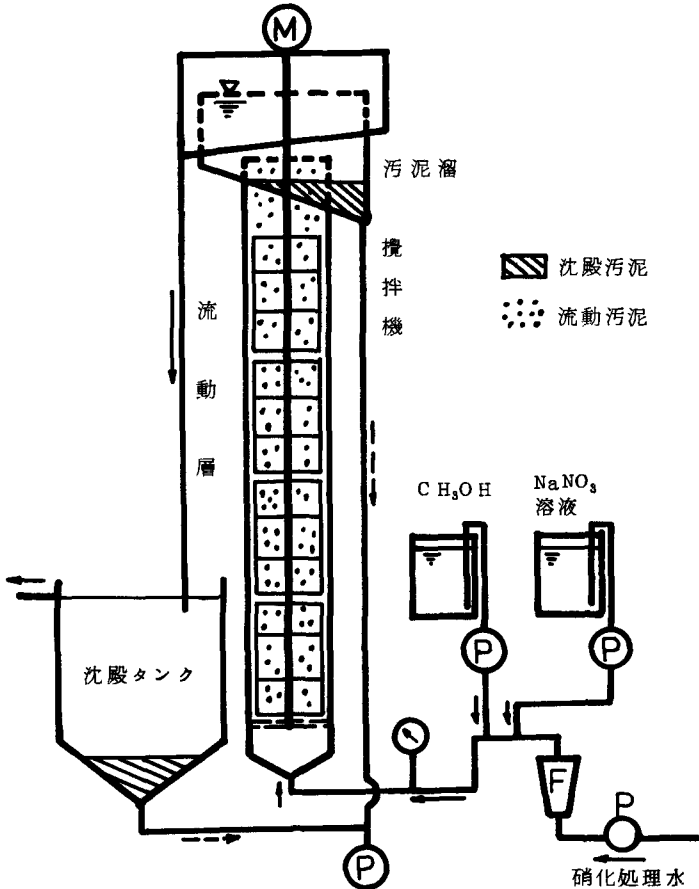


図-1 実験装置のフローシート

ICなるようにしたが、試験の目的に応じて、濃度や比率を、調整して通水した。

運転の開始は、流動層内に約1mの静置高さまで砂を入れ、このあと、NO₃-N、メタノールを添加した硝化処理水を通水し、とくに植種はおこなわなかつた。担体に微生物が付着し、ペレットが形成されて、汚泥だめに、余剰のペ

表-1 運転条件

| | |
|----------------------|-----------------------------------|
| 使 用 し た 担 体 (ろ過砂) | 有効径 0.6 mm または 0.3 mm 均等係数 1.4 |
| 処 理 水 量 | 0.65 ~ 1.5 m ³ /時 |
| 線 速 度 | 2.07 ~ 4.77 m/時 |
| 空塔に対する滞留時間 | 1.25 ~ 5.4 分 |
| 層 内 圧 力 損 失 | 0.3 ~ 0.4 kg/cm ² |

表-2 硝 素 除 去 量

| 実験番号 | 期 間 | 線速度 m/時 | 担体 径 ϕ | 水 温 ℃ | 槽 負荷 ^{※2} kg-N/m ² ・日 | 汚 泥 負荷 ^{※2} kg-N/kg-VSS・日 | 有機物汚泥濃度 g-VSS/l |
|------|--------------|------------|----------------|-------------|--|---------------------------------------|--------------------|
| 1 | 50年6/26~7/23 | 4.8 | 0.45 | 24.5 ~ 28.5 | 1.08 | - | - |
| 2 | 7/24~8/19 | 3.2 | 0.45 | 28.0 ~ 30.5 | 8.75 | 1.98 | 5.85 |
| 3 | 8/20~9/12 | 3.2 | 0.33 | 26.5 ~ 29.0 | 6.21 | 2.06 | 3.60 |
| 4 | 9/16~10/8 | 3.2 | 0.33 | 20.5 ~ 30.0 | 8.18 | 0.99 | 7.38 |
| 5 | 10/9~10/16 | 2.0 | 0.33 | 20.5 ~ 23.0 | 8.11 | 0.88 | 9.22 |
| 6 | 10/29~11/21 | 4.8~4.0 | 0.68 | 15.0 ~ 19.5 | 8.24 | 0.69 | 1.14 |
| 7 | 51年1/1~1/14 | 2.9 | 0.49 | 9.3 ~ 10.5 | 4.95 | - | - |
| 8 | 1/16~1/27 | 2.2 | 0.48 | 7.5 ~ 10.5 | 3.85 | 0.25 | 1.56 |
| 9 | 2/2~2/27 | 2.2 | 0.48 | 8.5 ~ 11.8 | 4.07 | 0.27 | 1.57 |
| 10 | 3/1~3/15 | 2.2 | 0.43 | 11.0 ~ 14.0 | 4.14 | 0.31 | 1.36 |

※1 ペレットの核となつていた担体の平均径

※2 それぞれの期間における平均値

レットが押出されるようになると、1日1回、沈殿したペレットをポンプに通し、ペレットに付着した生物膜をはく離して、分離した砂は、流動層内に返送した。

担体に使用した砂は、有効径 0.6 mm または一時的に 0.3 mm のろ過砂（均等係数 1.4）で、とくに前処理はおこなわなかつた。処理量（通水量）は、0.65 ~ 1.5 m³/時で、これは流動層の空塔に対する滞留時間が 1.25 ~ 5.4 分に相当する。運転条件を表-1 に示す。

3. 分析法

流動層内の汚泥濃度の測定は、ペレットを流動状態で、正確に採取するのが難しいため、反応槽からサイホンでペレットを取り出し、100 ml のシリンダーで 10 分間静置させた後、シリンダー内のペレットが占める体積についての全固形分汚泥濃度 (S S)、および有機物汚泥濃度 (V S S) を測定した。この測定値から、ペレットの展開率を考慮して、流動層内の汚泥濃度を推定した。

ペレットおよび担体の径は、通常 10 ないし 20 倍の実体投影機で写真に撮り測定した。他の分析項目は JIS K 0102 に準拠した。

4. 運転結果と考察

通水を開始してから数日後に、一部の砂に生物が付着し、ペレットが形成された。ペレット化が進行するに従い、展開率も大きくなり、数週間後には、余剰ペレットが押出され、担体の返送により定常状態が得られるようになつた。こののち分析を始めた。

1) 窒素除去量

について
流动層で除
去された NO_3^-
- N、および
 NO_2^- -Nの量
を、槽負荷お
よび汚泥負荷
量として、各
実験期間中の
平均値で表
2に示した。
槽負荷量は、
流动層時のペレ
ットが占める
槽体積当りの
窒素除去量と
して表わし、
またこの値を、
有機物汚泥量
当りに計算し

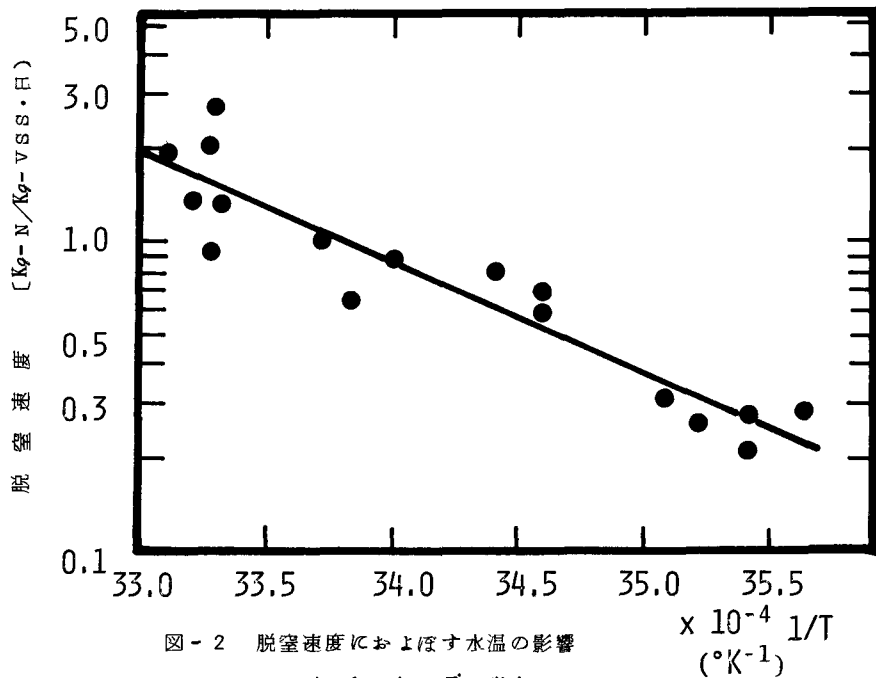


図-2 脱窒速度におよぼす水温の影響
- Arrhenius プロット -

たものを汚泥負荷量として示した。

槽当りの窒素除去量は、水温の高い夏期では、 $8 \text{ Kg-N/m}^3 \cdot \text{日}$ の数値が得られたが、冬期には、この約50%に低下した。

一方、汚泥の脱窒速度を示す汚泥負荷量についてみると、7~8月では約 $2.0 \text{ Kg-N/Kg-VSS} \cdot \text{日}$ の除去速度が得られたが、冬期にはこれが約1/7に低下した。

実験では、冬期に処理量を減少させ、線速度(LV)を 32 m/時 に低下させた結果、流动層内の汚泥濃度が増加して、結果的に汚泥負荷量よりも水温の影響が少なかつた。

2) 脱窒速度におよぼす温度の影響

年間を通しての運転データから、定常状態における運転期間で、 NO_3^- -Nとメタノール濃度が、反応速度に律速となつていない条件のものを、対象として選択し、Arrheniusの式によつてプロットした。結果を図-2に示す。

この結果、活性化エネルギーは $16,300 \text{ cal/mole}$ が得られ、運転した温度範囲では、 10°C の温度差で、脱窒速度の比が2.62となつた。これらの数値はSutton等の報告とよく一致しており、ペレット状や浮遊状など、汚泥の性状の違いによる温度の影響の差はないようと思われる。

3) メタノール消費量

脱窒反応で消費されるメタノール量は、菌体に資化される量も含めて、 NO_3^- -N、 NO_2^- -N および溶存酸素(DO)の各項目について概略次のように表わすことができる。ただし、係数a、b、c等は運転条件、とくに処理負荷量によつて多少変動するものと思われる。

消費されたメタノール = a × 除去された $\text{NO}_3 - \text{N}$
 + b × 除去された $\text{NO}_2 - \text{N}$
 + c × DO [ppm] ①

運転データでは、脱窒処理水に、 $\text{NO}_2 - \text{N}$ が増加することが多いため、次のような式を用いて係数 a、b を運転結果から求めた。なお、硝化処理水には溶存酸素が、ほとんど検出されなかつたため①式の第3項は計算から除いた。

今、流入水および処理水の $\text{NO}_3 - \text{N}$ を、それぞれ NI 、 NE また同様に $\text{NO}_2 - \text{N}$ については、それぞれ n_I 、 n_E と表わし、 $\text{NO}_3 - \text{N}$ が $\text{NO}_2 - \text{N}$ に変化するのに必要なメタノール量を $(a - b)$ 倍とすると、式①は

$$\begin{aligned} \text{消費されたメタノール} &= a (\text{NI} - \text{NE} - (n_I - n_E)) + (a - b)(\text{NE} - \text{NI}) \\ &= a \times (\text{NI} - \text{NE}) + b(\text{NI} - \text{NE}) \dots \dots \dots \text{②} \end{aligned}$$

と表わされる。実験データから任意の 69 個を抽出し式②に基いて最小2乗法により係数をもとめると、 $a = 2.4$ 、 $b = 1.4$ が得られた。McCarty は①式において、メタノ

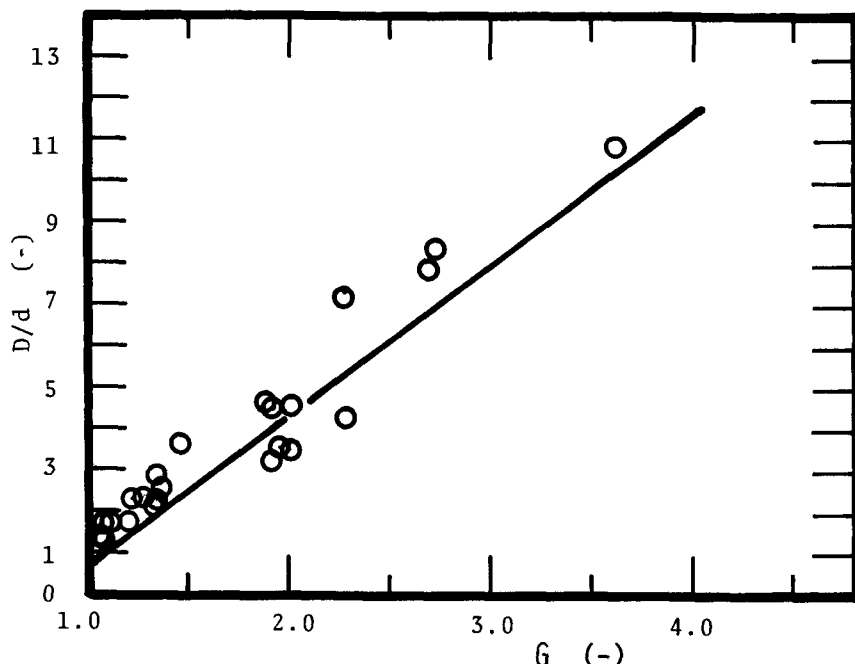


図-3 ベレットと担体の直径比とベレットの成長指標 G との関係

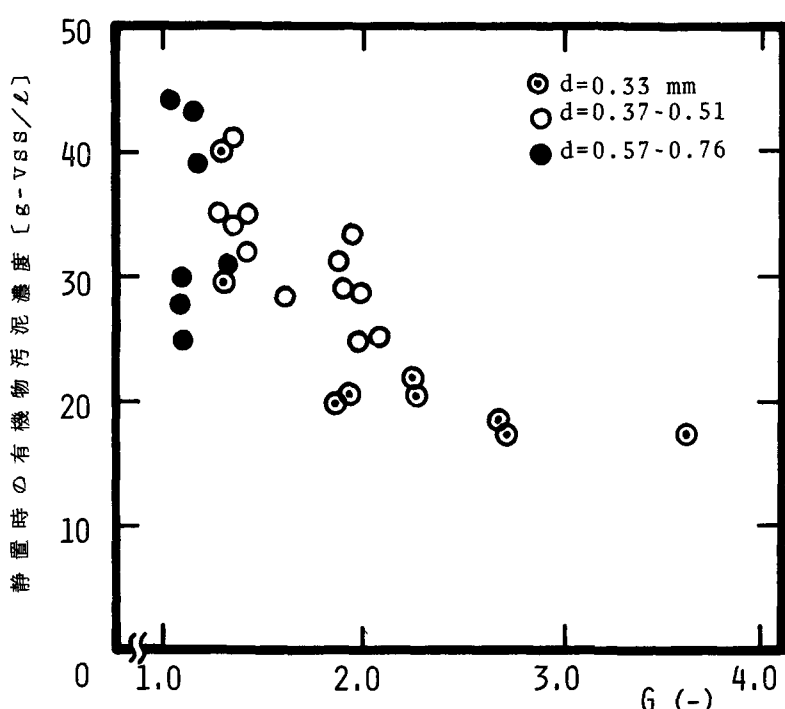


図-4 ベレットの成長指標 G と汚泥濃度の関係

-ル量をもとめ、係数について、 $a = 2.47$ 、 $b = 1.53$ 、を報告しており、流動層方式とよく一致した結果となつてゐる。

4) 汚泥保有量における要因

流動層方式では、他の生物処理と同様に、反応に関与する菌体量を多く維持することによつて、槽当たりの処理負荷量を高めることができる。流動槽での有機物汚泥濃度を高くするには、静置における有機物汚泥濃度を高くするとともに、流動時における展開率を小さくする必要がある。これらは、ペレットの核となつてゐる担体の大きさや、ペレットの成長の度合(ペレットの大きさ)等によつて変化するものと思われる。

今、ペレットの成長の度合の指標として、ペレットの固形物量(SS)と、担体の重量にほぼ等しい灰分量($SS - VSS$)との比(G)を用いた。なお、

$$G = SS / (SS - VSS)$$

VSS はペレットの有機物量を示す。

指標 G は、図-3に示せよう、ペレット径とその核となつてゐる担体の径との比 D/d と対応しており、担体径を含めたペレットの成長指標として指標 G は適當と思われる。

担体の径(d)をパラメータとして、10分静置時の有機物汚泥濃度(VSS)と、指標 G との関係をプロットすると、図-4が得られる。ペレットの大きさは、核となる担体の大きさにかかわらず、実験範囲では最大3.5mmより大きくなることがなかつたので、図-4からも明かなように、担体の径 d が大きい程、指標 G は小さな値に分布している。

ペレットを形成する生物膜の密度が成長の過程にかかわらず一定とすると、ペレットが担体だけの状態($G = 1$)から、生物膜が形成され、これが成長するにつれ、静置有機物濃度は0からだいぶ大きくなり、ある一定値に近づくと推定されるが、図-4から明かなように、各担体径について、このような傾向は認められなかつた。このような実験結果との違いは、ペレットが成長する過程で、内部で NO_3^- が還元して発生する窒素ガスが逃げにくくなり、生物膜の密度が見かけ上、小さくなつていくためと思われる。

一方、流動層内の汚泥保有量に大きさを影響をおよぼす展開率 E は、線速度 LV によつて著しく異なるが、同じ LV においても、担体径 d および、ペレットの成長の度合によつて大きく変化するものと思われる。

ペレットの展開率と線速度との関係は、粒子群の抵抗係数に空隙率を加えた公式と、抵抗係数を

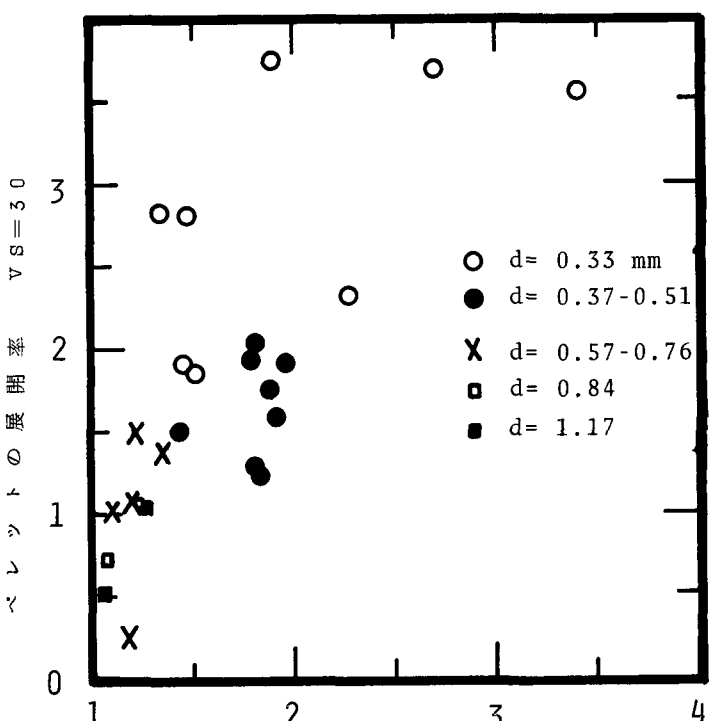


図-5 ペレットの成長指標 G とペレットの展開率との関係

Reynolds数の関数として表わした次の実験式を使って表わすことができる。

$$\text{抵抗係数 } C = B / Re^{\alpha} \dots$$

.....④

ここで、 Re は Reynolds数、 B 、 α は係数

しかし、ペレットの成長によつて、生物膜の密度や形状に変化があり、30mm径の小カラムで得られた結果では、ペレットの成長段階によつて、式④における B 、および α 値は一定とならず、とくに係数 B は大きく変化し、ペレットが大きくなる程大きな値を示した。

しかし、個々の担体や、ペレットについては式④で表わすことができたので、小カラムで求めた係数からそれぞれ $LV30m/\text{時}$ における展開率を換算して、これを指標 G に対しプロットした。結果を図-5に示す。

図-5から明らかなように、ペレットの成長の度合を表す指標 G の増加とともに、ペレットの展開率が大きくなつており、とくに担体径の小さい程、その影響が大きくあらわれている。

また、 $LV30m/\text{時}$ における流動層内の有機物汚泥濃度(VSS)を、図-4および図-5から計算し、この結果を指標 G に対しプロットすると、図-6が得られる。

図-6から明らかなように、流動層内の有機物汚泥濃度を高めるには、線速度が一定の場合、核となる担体径を大きくし、ペレットの大きさも、指標 G として1.5程度以下にすることが適当と思われる。ペレットの成長速度は、水温や、流動状態によつて異なるが、ペレットの反応槽での滞留時間を調整することにより、ペレットの大きさは操作できるものと思われる。

5. 引用文献

- 1) Jeris, J.S., and Owens, R.W., Journal of WPCF 47, 2043 (1975)
- 2) 中野、宮地 第13回下水道研究発表会講演集 192 (1976)
- 3) Sutton, P.M., Murphy, K.L., and Dawson, R.N., Journal of WPCF 47, 122, (1975).
- 4) McCarty, P.L., Beck, L., and St, Amant, P., Proceeding 24th Purdue Industrial Waste Conference, 1271 (1969).

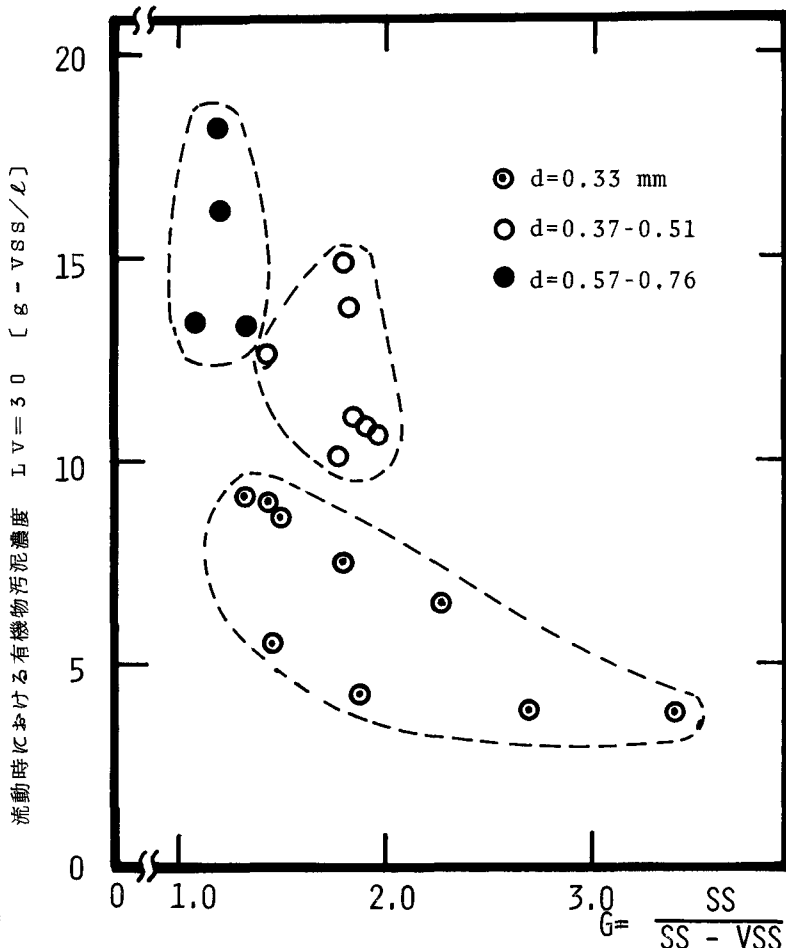


図-6 流動時の有機物汚泥濃度と指標 G との関係